



Europäisches Patentamt
European Patent Office
Office européen des brevets



⑪ Veröffentlichungsnummer: 0 602 394 A2

②

EUROPÄISCHE PATENTANMELDUNG

② Anmeldenummer: 93118370.1

⑤ Int. Cl. 5: H03D 7/16

② Anmeldetag: 12.11.93

③ Priorität: 14.11.92 DE 4238543

④ Veröffentlichungstag der Anmeldung:
22.06.94 Patentblatt 94/25

④ Benannte Vertragsstaaten:
AT BE CH DE DK ES FR GB GR IE IT LI LU MC
NL PT SE

① Anmelder: HAGENUK GmbH
Postfach 11 49,
Westring 431-451
D-24118 Kiel(DE)

② Erfinder: Kluge, Wolfram
Wormser Strasse 84
D-01309 Dresden(DE)
Erfinder: Jehring, Frieder
Karlsruher Strasse 91
D-01189 Dresden(DE)
Erfinder: Krause, Frank Michael
Hochschulstrasse 19
D-01069 Dresden(DE)

④ Vertreter: Drömer, Hans-Carsten
Preussag AG,
Patente und Lizenzen,
Karl-Wiechert-Allee 4
D-30625 Hannover (DE)

④ Verfahren und Vorrichtung zur Korrektur der Phasen- und Amplitudenfehler bei direktmischenden Empfangseinrichtungen.

④ Die Erfindung betrifft ein Verfahren und eine Vorrichtung zur Korrektur von Empfangssignalen bei direktmischenden Empfangssystemen zum Kompensieren von Amplituden- und Phasenfehlern. Das empfangene hochfrequente Signal wird in zwei Mischern mit zwei um 90° phasenverschobenen Signalen eines lokalen Oszillators gemischt. Von den hierbei entstehenden ZF-Signalen (I, Q) wird eines mit einem ersten Korrekturfaktor zur Bildung eines amplitudenkorrigierten Signals multipliziert. Es wird ein Summen- und ein Differenzsignal zwischen unkorrigiertem und amplitudenkorrigiertem ZF-Signal gebildet und Summen- oder Differenzsignal werden zur Bildung von phasenkorrigierten ZF-Signalen mit einem zweiten Korrekturfaktor multipliziert.

EP 0 602 394 A2

Die Erfindung betrifft ein Verfahren und eine Vorrichtung zur Korrektur von Empfangssignalen bei direktmischenden Empfangssystemen zum Kompensieren von Amplituden- und Phasenfehlern.

Bei Direct-Conversion-Empfängern, die gelegentlich auch als Homodynemüpfänger oder Null-ZF-Empfänger bezeichnet werden, wird das empfangene, winkelmodulierte Hochfrequenzsignal (HF-Signal) mit dem

- 5 Signal eines lokalen Oszillators (LO) gemischt, dessen Frequenz näherungsweise der Trägerfrequenz des HF-Signals entspricht. Da das LO-Signal ungefähr die gleiche Frequenz aufweist wie das HF-Signal, entsteht nach der Mischung ein Zwischenfrequenzsignal (ZF-Signal), das im niederfrequenten Bereich (NF-Bereich) liegt. Mathematisch gesehen entstehen bei der Mischung zeitweise negative Frequenzen, die aber in der Praxis nicht von den positiven Frequenzen unterschieden werden können. Zur Aufrechterhaltung der
- 10 vollen Information ist es bei Direct-Conversion-Empfängern notwendig, zwei um 90° zueinander verschobene ZF-Signale zu bilden. Dazu sind zwei Mischer vorhanden, an die das HF-Signal und das LO-Signal angelegt werden, wobei das an die eine Mischstufe angelegte HF- oder LO-Signal gegenüber dem entsprechenden, an die andere Mischstufe angelegten, Signal um 90° phasenverschoben ist. Die eine Mischstufe, vor der keine Phasenverschiebung folgt, erzeugt ein erstes ZF-Signal, das als in-phase-Signal
- 15 (I) bezeichnet wird. An dem zweiten Mischer wird ein zweites ZF-Signal erzeugt, das zum ersten ZF-Signal um 90° phasenverschoben ist und das als Quadratursignal (Q) bezeichnet wird. Die beiden ZF-Signale (I), (Q), werden über jeweils ein Tiefpaßfilter zur Selektion eines Empfangskanals und einen ZF-Verstärker geführt. Die verstärkten und gefilterten Signale können einem Demodulator zugeführt werden. Da die ZF-Signale im NF-Bereich liegen, werden an den ZF-Verstärker keine hohen Anforderungen gestellt und es
- 20 besteht die Möglichkeit, ZF-Filter sowie Demodulator nach Analog-Digital-Wandlung der ZF-Signale in einem Rechenwerk digital zu realisieren. Hierzu bieten sich digitale Signalprozessoren als kostengünstige Lösung an. Insbesondere ist die Verwendung von Festkommarechnern angestrebt. Gegenüber herkömmlichen Super-Heterodynemüpfängern haben Direct-Conversion-Empfänger den Vorteil, daß das Problem der Spiegelfrequenzunterdrückung nicht auftritt und daher keine schmalbandigen HF-Filter für die Vorselektion
- 25 vor dem Mischer und für die ZF-Signale benötigt werden. Direct-Conversion-Empfänger sind deshalb für eine vollständige integrierte Lösung geeignet.

Trotz dieser Vorteile ist bis heute das Konzept des Direct-Conversion-Empfängers in keinem nennenswerten Umfang eingesetzt worden. Ein Grund dafür ist, daß durch Toleranzen in den Funktionsgruppen des Empfängers Abweichungen in der Phase beziehungsweise in der Phasenverschiebung zwischen den ZF-

- 30 Signalen (Phasenfehler) sowie Abweichungen in der Amplitudengleichheit der ZF-Signale (Amplitudenfehler) entstehen, die zu einer drastischen Erhöhung des Klirrfaktors bei der Demodulation führen. Ein weiterer Grund ist, daß Signale mit der Frequenz 0 (Gleichanteile) mit zum ZF-Spektrum gehören. Daher stellt jeder Gleichspannungsoffset in den ZF-Kanälen eine Störfrequenz im Empfangsbereich dar, deren Auswirkungen sich prinzipiell nicht beseitigen sondern nur verringern lassen. Gleichspannungsoffsets entstehen aber
- 35 nahezu unvermeidlich in den Mischnern durch Übersprechen der HF-Signale an den Mischereingängen, bei großen Empfangssignalen durch Multiplikation mit sich selbst an der nichtlinearen Mischereingangskennlinie und durch Bauelementetoleranzen als statische Größe im Mischer sowie im ZF-Verstärker. Die Gleichspannungsoffsets können unter Umständen wesentlich größer sein als das DC-Nutzsignal. Der DC-Offset wird üblicherweise mittels eines Hochpasses (AC-Kopplung) abgetrennt. Hierbei geht jedoch auch das DC-
- 40 Nutzsignal verloren, was zu einer Erhöhung des Klirrfaktors führt.

Eine technische Lösung für die bei Direct-Conversion-Empfängern entstehenden Fehler ist es, das Auftreten solcher Fehler möglichst zu vermeiden, indem besonders sorgfältig ausgewählte Bauelemente eingesetzt werden. Dies ist aber mit erheblichem Aufwand verbunden.

- Andererseits könnte ein technischer Lösungsansatz darin bestehen, die Fehler nicht zu groß werden zu
- 45 lassen und zum Beispiel in einem Regelwerk auszugleichen.

In DE 39 38 671 A1 wird versucht, eine Korrektur der Amplituden- und Phasenfehler durch die Bildung von aus den I- und Q-Signalen abgeleiteten Signalen (IK, QK) zu erreichen. IK ist im wesentlichen das Produkt aus dem ursprünglichen I- und Q-Signal und QK ist im wesentlichen die Differenz der Quadrate der ursprünglichen Q- und I-Signale. Die so berechneten Signale IK und QK sind um 90° phasenverschobene Signale, die in Amplitude und Phase besser übereinstimmen als die unkorrigierten Signale I und Q. Dies gilt aber nur näherungsweise für kleine Amplituden- und Phasenfehler. In der genannten Schrift wird ausdrücklich darauf hingewiesen, daß die Fehlerkorrektur umso besser ist, je kleiner die Fehler vor der Korrektur sind. Bei großen Fehlern vor der Korrektur reicht die mit dem geschilderten Verfahren erreichbare Korrektur nicht aus. Bei für den HF-Teil realistischen Fehlergrößen von 3 dB für den Amplitudenfehler und 55 10° für den Phasenfehler bleiben nach der Korrektur immer noch 0,39 dB und $3,35^\circ$ übrig. Dies führt bei den hier beabsichtigten Anwendungen zu nicht vertretbaren Klirrfaktoren. Außerdem entsteht bei der Berechnung der abgeleiteten Signale IK und QK eine Frequenzverdopplung. In der genannten Schrift wird diese Frequenzverdopplung für vertretbar gehalten. Die Erhöhung der Frequenz macht jedoch auch eine

Erhöhung der Abtastfrequenz erforderlich, so daß, wenn alle Operationen zur Berechnung der korrigierten Signale in einem digitalen Signalprozessor durchgeführt werden sollen, dessen Rechenleistung mindestens verdoppelt werden muß. Dies führt zu einem erheblichen Mehraufwand.

Nach EP 0 180 339 A2 ist ein direct-conversion Sender bzw. Empfänger bekannt, bei dem DC-Offsets, Amplituden- und Phasenfehler korrigiert werden. Die Korrektur von Amplituden- und Phasenfehler ist nur möglich, wenn die DC-Offsets beseitigt sind. Für die Korrektur des Amplitudenfehlers ist eine Vorwärtskorrektur vorgesehen, bei der aus langfristigen Mittelwerten von gleichgerichteten I- und Q-Signalen ein Quotient als Korrekturfaktor gebildet wird. Der phasenfehler wird mit einer Regelung korrigiert. Bei einer derartigen Anordnung ist nachteilig, daß die Korrektur nur nach Beseitigung der DC-Offsets möglich ist, daß die Korrektur von Amplituden- und Phasenfehler nach verschiedenen Verfahren erfolgt und daß der Phasenfehler mit einer Regelung korrigiert wird. Die unterschiedlichen Korrekturverfahren weisen unterschiedliche Zeitverhalten auf. Die Korrekturverfahren sind miteinander gekoppelt. Damit liegt letztlich nur äußerst selten (zufällig) ein Signal vor, bei dem sowohl Amplituden- als auch Phasenfehler ausgeglichen sind. Die für die Korrektur des Phasenfehlers vorgeschlagene Regelung ist mit den bekannten Instabilitäten verbunden. Es kann zum Überschwingen oder sogar zu Resonanzen kommen. Zur Regelung wird entweder die Bildung eines Mittelwertes des Produktes aus I- und Q-Signal vorgeschlagen, wobei große Amplituden auftreten können, was mit rechentechnischen Schwierigkeiten verbunden sein kann, oder es wird die Detektion des Nulldurchgang der I- und Q-Signale vorgesehen, wobei eine nicht triviale Interpolation, aber auch die Erkennung der Rotationsrichtung erforderlich wird, was mit weiterem rechentechnischen Aufwand verbunden ist.

Aufgabe der Erfindung war es daher, ein Verfahren und eine Vorrichtung zur Korrektur von empfangenen Signalen bei direktrisondierenden Empfangssystemen anzugeben, die die Kompensation von Amplituden- und Phasenfehlern auch bei größeren Fehlerwerten unter Verwendung möglichst einfacher Prozessoren, insbesondere möglichst einfacher digitaler Signalprozessoren, erlaubt.

Außerdem soll die Korrektur von Amplituden- und Phasenfehler ohne eine Regelung ausschließlich als Vorwärtskorrektur erfolgen und beide Korrekturen sollen mit gleichem Zeitverhalten unabhängig voneinander (entkoppelt) durchgeführt werden.

Die Lösung dieser Aufgabe erfolgt durch ein Verfahren nach dem Patentanspruch 1 beziehungsweise durch eine Vorrichtung nach dem Patentanspruch 5.

Erfindungsgemäß wird nach Bildung der ZF-Signale I und Q eines dieser beiden ZF-Signale mit einem Korrekturfaktor K1 multipliziert, wodurch der Amplitudenfehler kompensiert wird. Aus dem unkorrigierten ZF-Signal und dem amplitudenkorrigierten ZF-Signal wird die Summe (I') beziehungsweise die Differenz (Q') gebildet. Eins der Signale I' und Q' wird mit einem zweiten Korrekturfaktor K2 multipliziert, wodurch die Signale I' und Q' auf gleiche Amplitude gebracht werden. Auf diese Weise wird der in einem Amplitudenfehler bezüglich I' und Q' transformierte Phasenfehler korrigiert. Die nach der zweiten Multiplikation vorliegenden Signale IK und QK sind in ihrer Phase um 45° bezüglich der Signale I und Q verschoben und in der Amplitude um den Faktor $\sqrt{2}$ größer, sofern keine Fehler korrigiert wurden. Beide Werte, Phasenverschiebung und Amplitudenfaktor, ändern sich mit dem Auftreten von Phasen- beziehungsweise Amplitudenfehlern. Diese Veränderungen in den Signalen IK und QK sind jedoch bei einer nachfolgenden FM-Demodulation ohne Bedeutung.

Fehlerfreie I- und Q-Signale bilden bei der Darstellung im kartesischen Koordinatensystem einen Kreis in Mittelpunktslage. Der Amplitudenfehler bewirkt ein Strecken oder Stauchen des Kreises in Achsenrichtung. Ein Phasenfehler bewirkt, daß der Kreis bezüglich einer 45°-Geraden gestaucht beziehungsweise gestreckt wird. In beiden Fällen wird der Kreis zur Ellipse verformt. Eine Verlagerung der Ellipse aus dem Ursprung wird durch Gleichspannungsoffsets hervorgerufen. Bei dem erfindungsgemäßen Verfahren wird davon ausgegangen, daß eine Korrektur von Amplituden- und Phasenfehlern unabhängig von Gleichspannungs-Offsets erfolgen soll. Mit dem ersten Korrekturfaktor erfolgt der Ausgleich des Amplitudenfehlers. Nach der Korrektur des Amplitudenfehlers hat die Ellipse immer eine Hauptachse, die im Winkel von 45° zu den Achsen des Koordinatensystems steht. Dies ist darauf zurückzuführen, daß bei der Korrektur die Spitzenwerte in I- und Q-Richtung aneinander angeglichen werden. Anschließend erfolgt die Bildung der Summen- und Differenzsignale, welches einer Drehung der Ellipse um 45° entspricht, da die Summenbeziehungsweise Differenzbildung einer Multiplikation der I- und Q-Signale mit der Transformationsmatrix nach Gleichung 1 entspricht.

$$T = \begin{bmatrix} \cos(a) & \sin(a) \\ -\sin(a) & \cos(a) \end{bmatrix} \quad (1)$$

5

10

$$\begin{bmatrix} I' \\ Q' \end{bmatrix} = T * \begin{bmatrix} I \\ Q \end{bmatrix}$$

Die Ellipse der Signale I' und Q' liegt daher so im neuen Koordinatensystem, daß deren Hauptachse parallel zu einer Achsen des Koordinatensystems steht. Diese Ellipse enthält nur noch einen Amplitudenfehler bezüglich I' und Q' , der von dem Phasenfehler des I - und Q -Signals herröhrt. Dieser kann auf die gleiche Weise korrigiert werden wie bei den I - und Q -Signalen, also mittels eines Korrektorfaktors $K2$ ausgeglichen werden. Einzelheiten der Erfindung und besondere Ausführungen werden anhand der Figuren 1 bis 4 erläutert.

Es zeigen:

- 20 Fig. 1 ein Blockschaltbild eines Direct-Conversion-Empfängers;
- Fig. 2 ein Ausführungsbeispiel für das Verfahren zur Korrektur von Amplituden- und Phasenfehlern;
- Fig. 3 ein Ausführungsbeispiel für die Bestimmung der Korrekturfaktoren zur Verwendung für das Verfahren nach Fig. 2;
- Fig. 4 eine schematische Darstellung der Kompensation von Amplituden- und Phasenfehlern zur Bildung der korrigierten Signale IK , QK aus verzerrten Eingangsgrößen I , K ;
- 25 Fig. 5 ein Ausführungsbeispiel für die Bestimmung der Korrekturfaktoren mit verminderter Welligkeit zur Verwendung für das Verfahren nach Fig. 2, wobei das Vorzeichen des NF-Signals verwendet wird;
- Fig. 6 ein Ausführungsbeispiel entsprechend Fig. 5, jedoch ohne das Vorzeichen des NF-Signals auskommend.

Fig. 1 zeigt die Verwendung des erfindungsgemäßen Verfahrens beziehungsweise der Vorrichtung in einem Direct-Conversion-Empfänger. Das von der Antenne 1 empfangene HF-Signal durchläuft ein Eingangsfilter 2 und wird vom Vorverstärker 3 verstärkt. Durch das Mischpaar 6, 7 wird das HF-Signal direkt in das Basisband umgesetzt. Die Mischer 6, 7 werden von einem Signal des lokalen Oszillators 4 (LO-Signal) angesteuert, wobei in diesem Ausführungsbeispiel der Misch 7 ein um 90° phasenverschobenes LO-Signal erhält. Die Frequenz des LO-Signals entspricht näherungsweise der Trägerfrequenz des zu empfangenden FM-Signals. An den Ausgängen der Mischer 6 und 7 liegen die niederfrequenten Basisbandsignale an. Die Spektren dieser Signale entsprechen dem in den niederfrequenten Bereich um die Trägerfrequenz verschobenen FM-Spektrum. Das Signal vom Misch 6 wird als I -Signal und das dazu um 40 90° phasenverschobene Signal von Misch 7 als Q -Signal bezeichnet. Die I - und Q -Signale werden weiter über Hochpässe 8, 9 zum Abtrennen von Gleichspannungsoffsets geleitet. Die folgenden Tiefpässe 10, 11 bilden das Kanalfilter des Empfängers zur Selektion eines Übertragungskanals aus dem Empfangsspektrum. In den Verstärkern 12, 13 wird der Pegel der I - und Q -Signale auf einen für die weitere Verarbeitung nötigen Wert angehoben. Besitzen die I - und Q -Signale nicht die gleiche Amplitude auf Grund von Verstärkungsunterschieden in den Basisbandkanälen (I -Kanal und Q -Kanal), so tritt ein Amplitudenfehler auf. Beträgt die Phase zwischen I - und Q -Signal nicht genau 90° , so tritt ein Phasenfehler auf. Beide Fehler bewirken bei der FM-Demodulation starke nichtlineare Verzerrungen und müssen daher vor der Demodulation korrigiert werden. Das erfindungsgemäße Korrekturverfahren und die Vorrichtung sind im Mittel 14 realisiert. Letzteres liefert an seinen Ausgängen die amplituden- und phasenkorrigierten Signale IK und QK .

55 Mit diesen Signalen kann unmittelbar die Demodulation erfolgen.

Die Arbeitsweise des Korrekturgliedes 14 wird anhand von Fig. 2 im Rahmen eines Ausführungsbeispiels beschrieben. Aus den Signalen I und Q wird im Mittel 17 ein Korrekturfaktor $K1$ gebildet. Mit diesem wird im Verstärker 18 im hier dargestellten Ausführungsbeispiel das Q -Signal auf die gleiche Amplitude wie das I -Signal gebracht. Wahlweise kann auch umgekehrt das I -Signal auf die gleiche Amplitude gebracht werden wie das Q -Signal. Danach ist der Amplitudenfehler beseitigt. Im weiteren wird in den Mitteln 19 und 20 die Summe I' beziehungsweise die Differenz Q' aus dem I -Signal und dem amplitudenkorrigierten Q -Signal gebildet. Aus den Signalen I' und Q' wird im Mittel 21, das vorzugsweise analog zum Mittel 17 aufgebaut ist, ein Korrekturfaktor $K2$ gebildet, mit dem im dargestellten Ausführungsbeispiel das Signal Q'

Änderungen des Amplitudenfehlers verringert.

Für die Funktion des Verfahrens nach Fig. 3 ohne die Mittel 23, 24, 30, 31 und 32, 32' wird gefordert, daß die I- und Q-Signale ohne einen Amplitudenfehler den gleichen arithmetischen Mittelwert aufweisen. Für frequenzmodulierte I- und Q-Signale ist diese Bedingung nur erfüllt, wenn das Quellsignal der

- 5 Modulation (z.B. ein Sprachsignal) als mittelwertfreier, stochastischer Prozeß aufgefaßt werden kann. Dazu ist jedoch ein Beobachtungszeitraum notwendig, der wesentlich länger als die Dauer der Autokorrelationsfunktion des modulierenden Prozesses ist. Im einzelnen verursachen bestimmte Frequenzen des Modulationssignals, die mit der Trägerfrequenz korreliert sind (und damit eine Synchronität aufweisen), Abweichungen des ermittelten Korrekturfaktors. Der Tiefpaß muß eine Mittelwertbildung über solche synchronen
- 10 Abschnitte des Modulationssignals ausführen. Dadurch bestimmen die statistischen Eigenschaften des Modulationssignals die notwendige Dauer der Mittelwertbildung und die damit verbundene Reaktionszeit des Verfahrens auf Änderungen des zu erfassenden Amplitudenfehlers.

Ein günstigeres Verhalten zeigt das Verfahren wir in Fig. 3 dargestellt. Die statistischen Eigenschaften des Modulationssignals haben keinen Einfluß mehr auf die Welligkeit des Korrekturfaktors K. Dessen

- 15 Welligkeit wird lediglich durch die Wechselanteile des I- und Q-Signals bestimmt, welche die Mittel 23, 25, 30, 27 beziehungsweise die Mittel 24, 26, 31, 28 passieren können. Eine Abhängigkeit der Synchronität zwischen der Trägerfrequenz und der Frequenz des Modulationssignals besteht nicht mehr. Der Korrekturfaktor K kann deshalb wesentlich schneller erfaßt werden.

20 Patentansprüche

1. Verfahren zum Korrigieren von Amplituden- und Phasenfehlern in einem direktemischenden Empfangssystem, in dem ein winkelmoduliertes, empfangenes, hochfrequentes Signal in zwei Mischern mit zwei um 90° phasenverschobenen LO-Signalen mit näherungsweise gleicher Frequenz zu zwei in Quadratur
- 25 stehenden ZF-Signalen (I, Q) gemischt werden, dadurch gekennzeichnet, daß eines der beiden ZF-Signale zur Bildung eines amplitudenkorrigierten ZF-Signals mit einem ersten Korrekturfaktor K1 multipliziert wird, daß Summen- (I') und Differenzsignale (Q') aus dem unkorrigierten ZF-Signal und dem amplitudenkorrigierten ZF-Signal gebildet werden, und daß entweder das Summen- (I') oder das Differenzsignal (Q') zur Bildung von phasenkorrigierten ZF-Signalen mit einem zweiten Korrekturfaktor K2 multipliziert wird, wodurch
- 30 die Signale I' und Q' auf gleiche Amplitude gebracht werden.
2. Verfahren nach Anspruch 1, dadurch gekennzeichnet, daß zur Bildung des ersten Korrekturfaktors K1
 - a) die beiden ZF-Signale (I, Q) einer Betragsbildung und
 - b) aus den so erzeugten Signalen nach Tiefpaßfilterung der Korrekturfaktor als Quotient bestimmt wird.
3. Verfahren nach Anspruch 2, dadurch gekennzeichnet, daß zur Bildung des Korrekturfaktors K2 anstelle der ZF-Signale die Summen- und Differenzsignale (I', Q') verwendet werden.
- 35 4. Verfahren nach Anspruch 2 oder 3, dadurch gekennzeichnet, daß anstelle der I- und Q-Signale beziehungsweise Summen- und Differenzsignale (I', Q') deren zeitliche Ableitungen zur Berechnung der Korrekturfaktoren herangezogen werden.
- 40 4'. Verfahren nach Anspruch 4, dadurch gekennzeichnet, daß nach der Betragsbildung der I- und Q-Signale bzw. der Summen- und Differenzsignale (I', Q') eine Multiplikation mit dem Vorzeichen des NF-Signals des FM-Demodulators (16) erfolgt.
5. Vorrichtung zum Korrigieren von Amplituden- und Phasenfehlern (14) in einem direktemischenden Empfangssystem, in dem zwei ZF-Signale, ein I- und ein Q-Signal in bekannter Weise gebildet und verstärkt (12, 13) wurden, dadurch gekennzeichnet, daß der Verstärker (12) für das I-Signal und der
- 45 Verstärker (13) für das Q-Signal mit einer Einrichtung (17) zur Bestimmung eines ersten Korrekturfaktors K1 und diese mit einer Verstärkungseinrichtung (18) zum Ausgleich der Amplituden der I- und Q-Signale verbunden ist, daß eine Einrichtung zur Summenbildung (19) und eine Einrichtung zur Differenzbildung (20) mit dem Ausgang der Verstärkungseinrichtung für das I-Signal (12) und den Ausgang der Verstärkungseinrichtung für das ausgeglichene Q-Signal (18) verbunden sind, wodurch ein Summensignal I' und ein
- 50 Differenzsignal Q' gebildet wird, und die diese Signale I', Q' tragenden Ausgänge der Einrichtungen (19, 20) mit einer Einrichtung (21) zur Bestimmung eines zweiten Korrekturfaktors K2, welche im wesentlichen der Einrichtung (17) entspricht, verbunden sind, und die Einrichtung (21) mit einer Verstärkungseinrichtung (22) zum Ausgleich der Amplituden der I'- und Q'-Signale verbunden ist.
6. Vorrichtung nach Anspruch 5, dadurch gekennzeichnet, daß die Einrichtungen (17, 21) zur Bestimmung
- 55 der Korrekturfaktoren K1 und K2 Mittel (25 und 26) zur Betragsbildung enthalten, welche eingangsseitig mit den Verstärkern (12, 13) für die I- und Q-Signale bzw. mit den Einrichtungen zur Summation (19) und zur Differenzbildung (20) und ausgangsseitig mit Tiefpässen (27, 28) verbunden sind, und daß die Tiefpässe (27, 28) mit einem Mittel (29) zur Bildung eines Quotienten verbunden sind.

7. Vorrichtung nach Anspruch 6, dadurch gekennzeichnet, daß vor den betragsbildenden Mitteln (25, 26) Differentiatoren (23, 24) angeordnet sind, welche eingangsseitig mit den Verstärkern (12, 13) für die I- und Q-Signale bzw. mit den Einrichtungen zur Summation (19) und zur Differenzbildung (20) und ausgangsseitig mit Mitteln (25 und 26) zur Betragsbildung verbunden sind.

5 7'. Vorrichtung nach Anspruch 6, dadurch gekennzeichnet, daß Multiplikatoren (31, 31) angeordnet sind, die mit einem Vorzeichenbildner (32) den betragsbildenden Mitteln (25, 26) und den Tiefpässen (27, 28) verbunden sind.

10

15

20

25

30

35

40

45

50

55

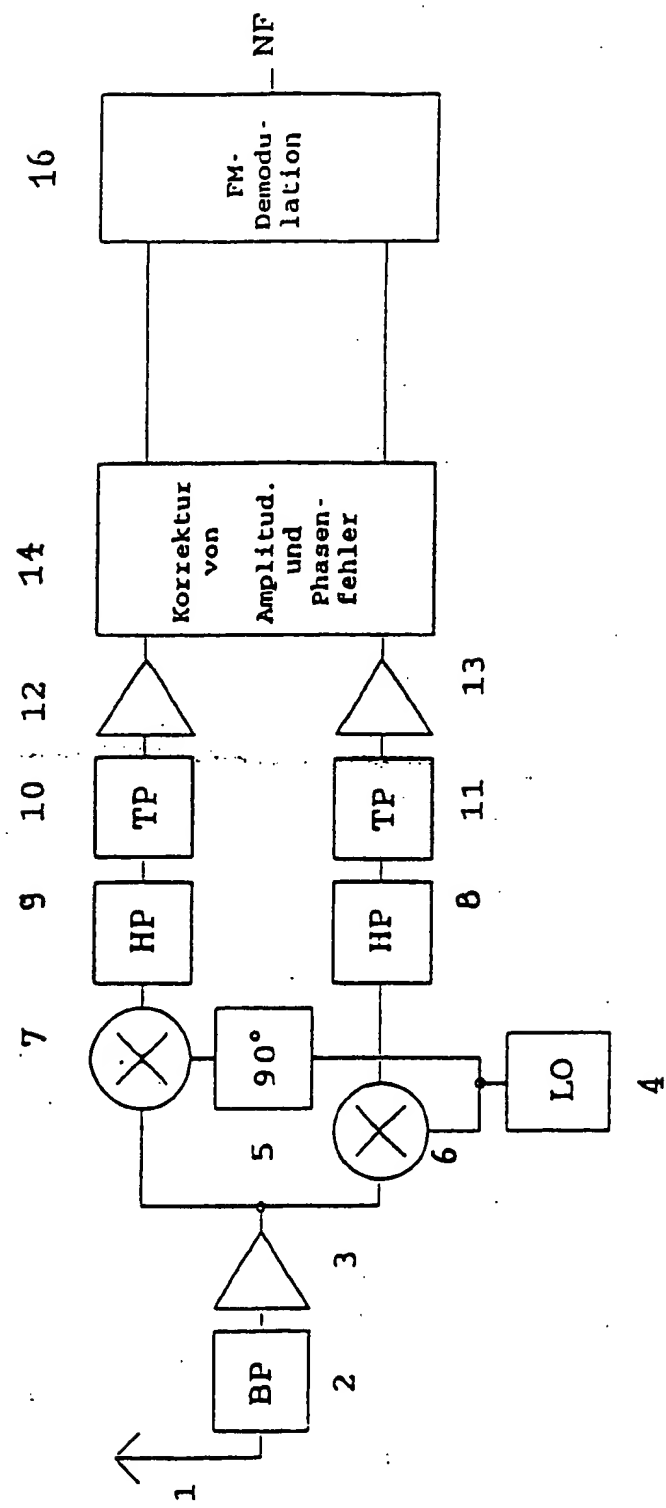


Fig. 1

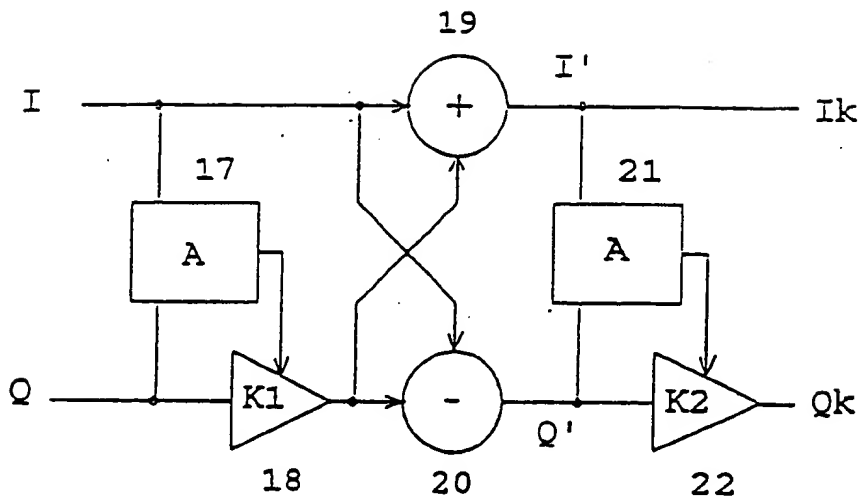


Fig. 2

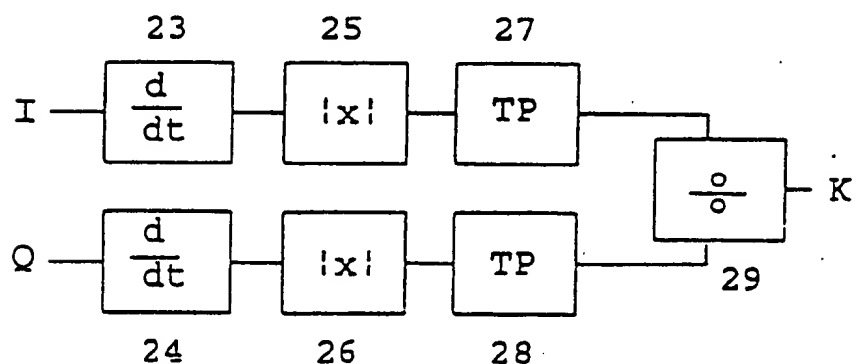


Fig. 3

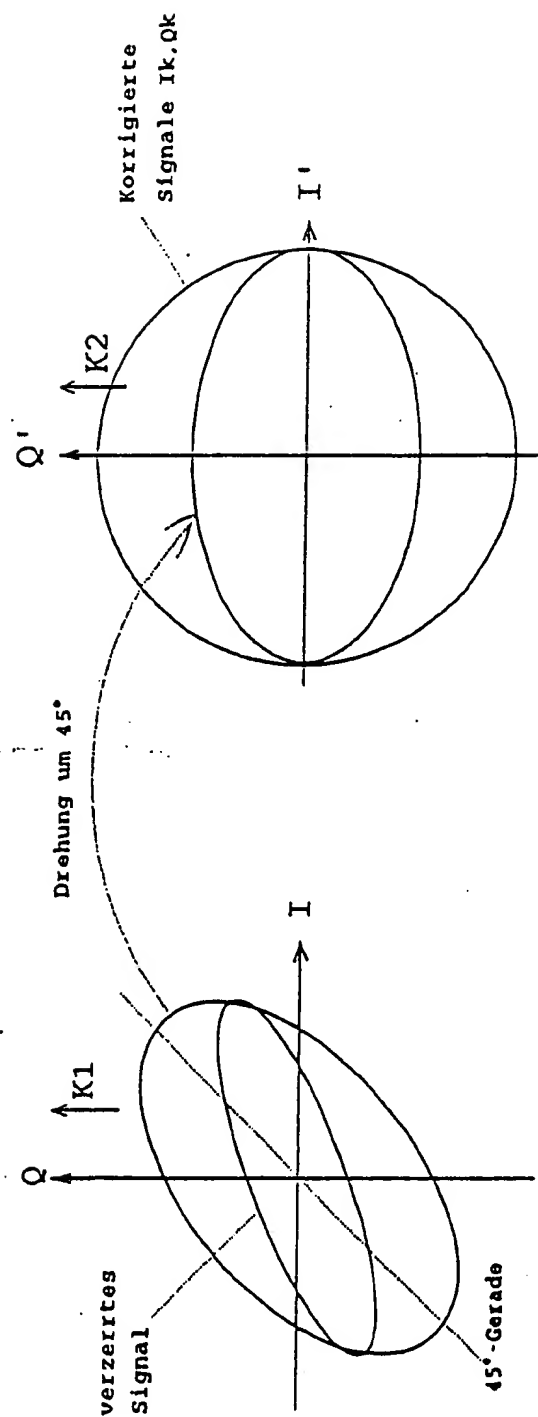


Fig. 4

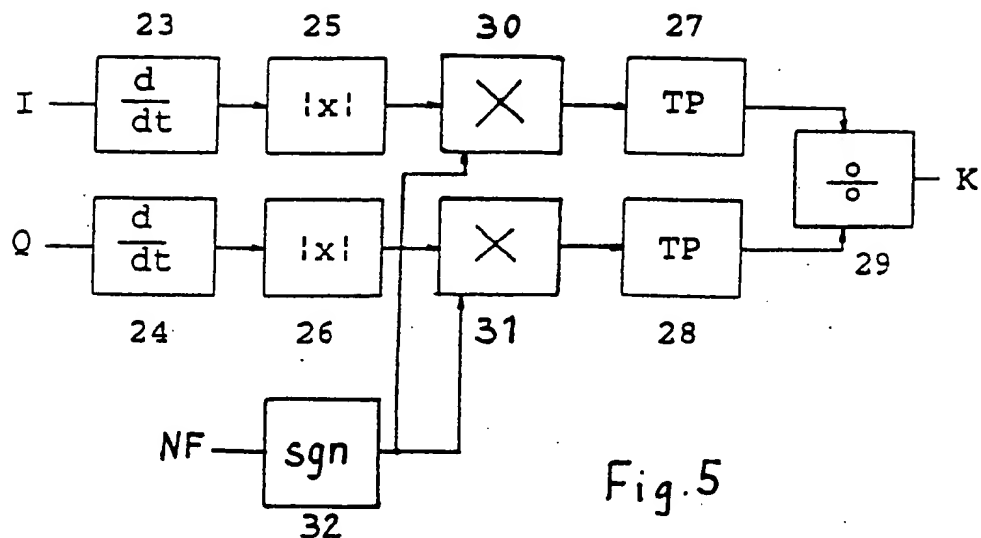


Fig. 5

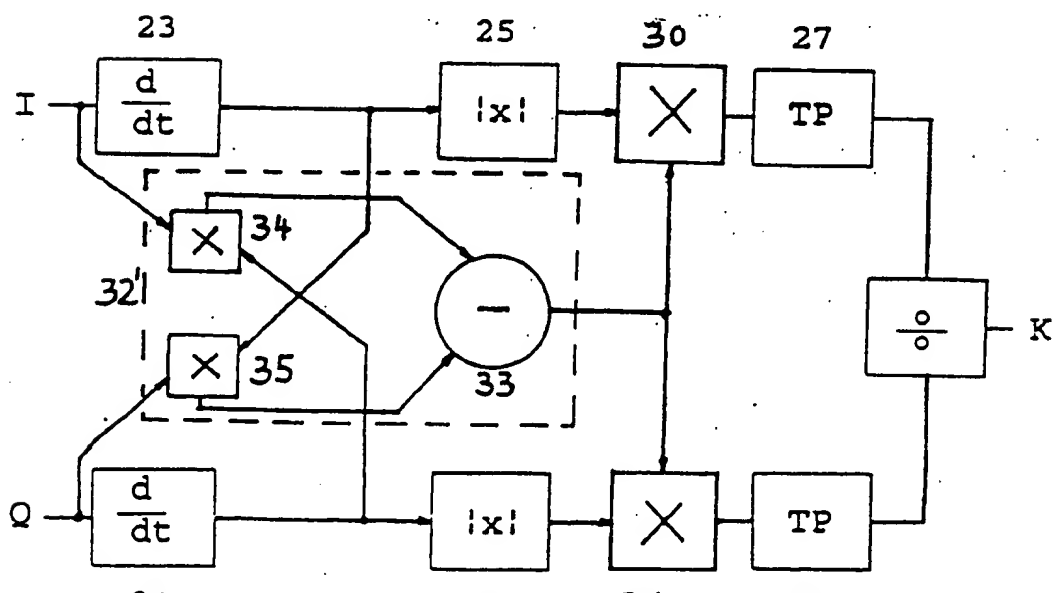


Fig. 6



12

EUROPÄISCHE PATENTANMELDUNG

21 Anmeldenummer: 93118370.1

21 Int. Cl. 6: H03D 7/16

22 Anmeldetag: 12.11.93

30 Priorität: 14.11.92 DE 4238543

71 Anmelder: HAGENUK GmbH
Postfach 11 49,
Westring 431-451
D-24118 Kiel (DE)

43 Veröffentlichungstag der Anmeldung:
22.06.94 Patentblatt 94/25

72 Erfinder: Kluge, Wolfram
Wormser Strasse 84
D-01309 Dresden (DE)
Erfinder: Jehring, Frieder
Karlsruher Strasse 91
D-01189 Dresden (DE)
Erfinder: Krause, Frank Michael
Hochschulstrasse 19
D-01069 Dresden (DE)

84 Benannte Vertragsstaaten:
AT BE CH DE DK ES FR GB GR IE IT LI LU MC
NL PT SE

74 Vertreter: Drömer, Hans-Carsten
Preussag AG,
Patente und Lizenzen,
Karl-Wiechert-Allee 4
D-30625 Hannover (DE)

88 Veröffentlichungstag des später veröffentlichten
Recherchenberichts: 08.02.95 Patentblatt 95/06

54 Verfahren und Vorrichtung zur Korrektur der Phasen- und Amplitudenfehler bei direktrmisgenden Empfangseinrichtungen.

55 Die Erfindung betrifft ein Verfahren und eine Vorrichtung zur Korrektur von Empfangssignalen bei direktrmisgenden Empfangssystemen zum Kom pensieren von Amplituden- und Phasenfehlern. Das empfangene hochfrequente Signal wird in zwei Mischern mit zwei um 90° phasenverschobenen Signalen eines lokalen Oszillators gemischt. Von den hierbei entstehenden ZF-Signalen (I , Q) wird eines mit einem ersten Korrekturfaktor zur Bildung eines amplitudenkorrigierten Signals multipliziert. Es wird ein Summen- und ein Differenzsignal zwischen un korrigiertem und amplitudenkorrigiertem ZF-Signal gebildet und Summen- oder Differenzsignal werden zur Bildung von phasenkorrigierten ZF-Signalen mit einem zweiten Korrekturfaktor multipliziert.

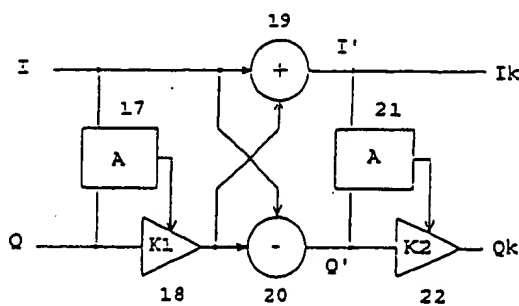


Fig. 2

EP 0 602 394 A3



Europäisches
Patentamt

EUROPÄISCHER RECHERCHENBERICHT

Nummer der Anmeldung
EP 93 11 8370

EINSCHLÄGIGE DOKUMENTE									
Kategorie	Kenntzeichnung des Dokuments mit Angabe, soweit erforderlich, der maßgeblichen Teile	Betrieb Anspruch	KLASSIFIKATION DER ANMELDUNG (Int.CLS)						
A,D	DE-A-39 38 671 (ASCOM RADICOM AG) * Seite 1, Zeile 57 - Seite 2, Zeile 26; Abbildungen 1,2 *	1,5	H03D7/16 H03D3/00						
A	DE-A-39 38 643 (ASCOM RADICOM AG) * Spalte 2, Zeile 57 - Spalte 5, Zeile 10; Abbildungen 1,2,4 *	1,5							
A,D	EP-A-0 180 339 (STC PLC) * Seite 3, Zeile 31 - Seite 6, Zeile 7; Abbildungen 2,5-7 *	1,5							
A	EP-A-0 343 273 (DEUTSCHE ITT INDUSTRIES) * Seite 5, Zeile 1 - Seite 8, Zeile 11; Abbildungen 3-7 *	1,5							
RECHERCHIERTE SACHGEBIETE (Int.CLS)									
H03D									
<p>Der vorliegende Recherchenbericht wurde für alle Patentansprüche erstellt</p> <table border="1" style="width: 100%; border-collapse: collapse;"> <tr> <td style="width: 33%;">Recherchierort</td> <td style="width: 33%;">Abschlußdatum der Recherche</td> <td style="width: 33%;">Prüfer</td> </tr> <tr> <td style="text-align: center;">DEN HAAG</td> <td style="text-align: center;">19. Dezember 1994</td> <td style="text-align: center;">Dhondt, I</td> </tr> </table>				Recherchierort	Abschlußdatum der Recherche	Prüfer	DEN HAAG	19. Dezember 1994	Dhondt, I
Recherchierort	Abschlußdatum der Recherche	Prüfer							
DEN HAAG	19. Dezember 1994	Dhondt, I							
KATEGORIE DER GENANNTEN DOKUMENTE X : von besonderer Bedeutung allein betrachtet Y : von besonderer Bedeutung in Verbindung mit einer anderen Veröffentlichung derselben Kategorie A : technologischer Hintergrund O : nichtchriftliche Offenbarung P : Zwischenliteratur		T : der Erfüllung zugrunde liegende Theorien oder Grundsätze E : älteres Patentdokument, das jedoch erst am oder nach dem Anmeldedatum veröffentlicht worden ist D : in der Anmeldung angeführtes Dokument L : aus anders Gründen angeführtes Dokument & : Mitglied der gleichen Patentfamilie, überstartzähmendes Dokument							